

Расчет локальных напряжений в стальной балке, преднапряженной вытяжкой стенки

А.А. Иодчик, А.А. Чебровский, Бурцев В.М.

Тихоокеанский государственный университет, Хабаровск

Аннотация: В статье рассматривается случай, когда сосредоточенная сила приложена в середине пролета в точку к стенке преднапряженной балки. Предварительные касательные напряжения не оказывают влияние на напряженное состояние в середине пролета балки. Однако предварительные нормальные напряжения будут действовать по всей высоте стенки и влиять на распределение зоны локальных напряжений и на напряженное состояние стенки. Определение напряжений в балке основано на балочной теории Тимошенко С.П. В статье приведены система эквивалентных усилий на гранях стенки и выражение нормальных напряжений в поперечном сечении преднапряженной балки. В сравнении с обычной балкой, преднапряжение уменьшает нормальные напряжения от сосредоточенной силы.

Ключевые слова: тонкостенная конструкция, стальная балка, двутавровое сечение, предварительное напряжение, локальные напряжения, локальный эффект, принцип Сен-Венана, теория Тимошенко, решение Кармана, интеграл Фурье, функция напряжений.

Определением действительной модели разрушения элементов стальных тонкостенных балок занимаются многие ученые-инженеры. Одной из таких задач является построение модели разрушения стенки балки от приложения к ней сосредоточенной в точку силы. В частности, для решения поставленной задачи, можно представить тонкую стенку балки как шарнирно опертую пластинку с приложенной к ней сосредоточенной силой. Классическая теория балок подробно представлена Доннеллом Л.Г. [1]. Особенности расчета тонкостенных конструкций методом предельного равновесия представлены в работах [2-5]. Вопрос воздействия сосредоточенного давления на элементы тонкостенного стержня рассматривался в трудах [6-8]. Принципиальная схема приложения силы на стенку представлена на рис. 1. В настоящее время вопросы эффективности предварительного напряжения стальных тонкостенных балок интересуют, в том числе, и зарубежных исследователей [9-11].

Усилия растяжения распределяются радиально и эквивалентны давлению по квадранту ab цилиндрической поверхности abc , у точки A .

Система усилий на гранях стенки показана на рис. 2. Такие силы эквивалентны горизонтальной силе P/π и вертикальной силе P , приложенные в точке A .

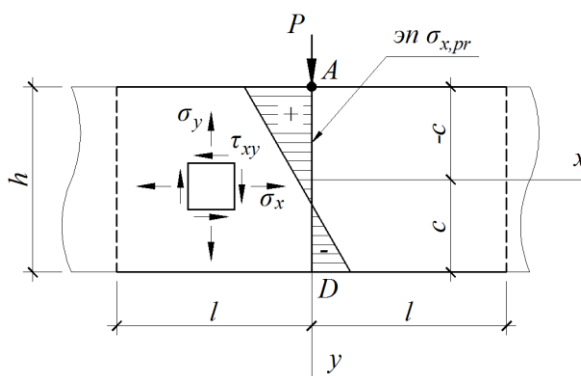


Рис. 1. – Схема действия сосредоточенной нагрузки на стенку в середине пролета преднапряженной балки

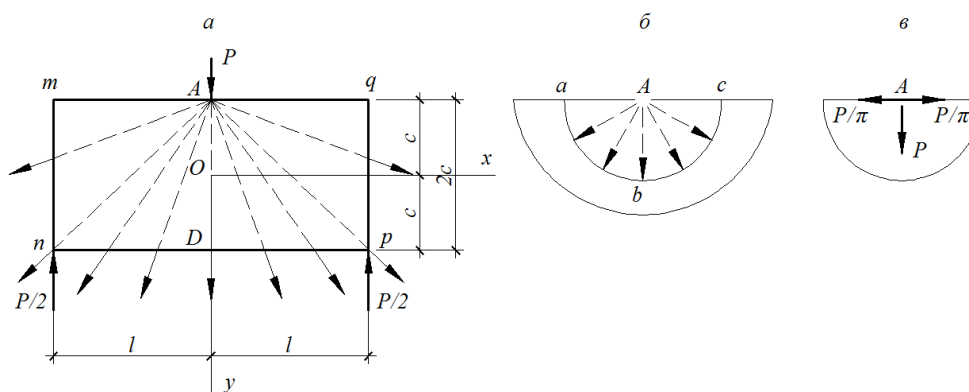


Рис. 2. - Схема усилий на гранях стенки балки, опертой в точках n и p :

а - радиальное растягивающее; б - давление, распределенное по цилиндрической поверхности; в - горизонтальные и вертикальные силы

К изгибным напряжениям требуется добавить равномерно распределенные напряжения $P/2\pi c$, создаваемые силой P/π . К нижней кромке стенки прикладывается нагрузка $P/\pi c$. Таким образом, получим три составляющие напряженного состояния стенки для балок без преднапряжения, и общее выражение нормальных напряжений в поперечном сечении AD будет:

$$\sigma_{x,ob} = \frac{3P}{2c^3} \left(\frac{l}{2} - \frac{c}{\pi} \right) y + \frac{P}{2\pi c} + \frac{P}{\pi c} \left(\frac{y^3}{2c^3} - \frac{3y}{10c} \right) \quad (1)$$

Согласно требованиям СП 16.13330.2011 «Стальные конструкции», прочность элементов, изгибаемых в одной из главных плоскостей, будет:

$$\frac{M_{\max}}{W_{zv}} \leq R_y \quad (2)$$

$$\frac{P_{\max} S_x}{I_x t_w} \leq R_s \quad (3)$$

Максимальная сила P_{\max} , приложенная в середине пролета балки, из условия прочности элемента по изгибающему моменту M_{\max} будет:

$$P_{\max} = \frac{2M_{\max}}{l} = \frac{2R_y W_{zv}}{l} \quad (4)$$

Предварительные нормальные напряжения σ_x^{pr} , действующие в стенке преднапряженной балки, влияют на ее напряженное состояние в сечении AD . На стадии изготовления напряжение $\sigma_{x,pr}$ по сторонам верхней кромки стенки относительно оси x , будет:

$$\sigma_{x,pr} = -\frac{R_y K}{2(2K+1)} \left(1 - 6 \cdot \frac{y}{h} \right) \quad (5)$$

Площадь поперечного сечения балки A при толщине стенки $t_w = 1$:

$$A = \frac{A_w}{\gamma_w} = \frac{t_w h}{\gamma_w} = \frac{h}{\gamma_w} \quad (6)$$

Общее выражение нормальных напряжений σ_x в поперечном сечении AD , для преднапряженной балки:

$$\sigma_x = \sigma_{x,ob} + \sigma_{x,pr} = \frac{2R_y}{l} \cdot \frac{h^2}{6\gamma_w} \cdot \frac{6K - \gamma_w(K+1)^2}{(K+1)} \times \left[\frac{3}{2c^3} \left(\frac{x}{2} - \frac{c}{\pi} \right) y + \frac{1}{2\pi c} \left(1 + \frac{y^3}{c^3} - \frac{3y}{5c} \right) \right] - \frac{R_y K}{2(2K+1)} \left(1 - 6 \cdot \frac{y}{h} \right) \quad (7)$$

Расстояние от начала координат до верхней и нижней кромок стенки $c = h/2$, нормальные напряжения будут наибольшими на расстоянии $x = 0$,

согласно принципу Сен-Венана $l = h$, поэтому вид максимальных нормальных напряжений будет:

$$\begin{aligned}\sigma_x &= \frac{2R_y}{h} \cdot \frac{h^2}{6\gamma_w} \cdot \frac{6K - \gamma_w(K+1)^2}{(K+1)} \times \\ &\times \left[-\frac{3 \cdot 8}{4h^2\pi} y + \frac{2}{2\pi h} \left(1 + \frac{8y^3}{h^3} - \frac{6y}{5h} \right) \right] - \frac{R_y K}{2(2K+1)} \left(1 - 6 \cdot \frac{y}{h} \right) = \\ &= \frac{2R_y}{3} \cdot \frac{6K - \gamma_w(K+1)^2}{\gamma_w(K+1)} \times \\ &\times \left[\frac{4}{\pi h^3} y^3 - \left(\frac{3}{h\pi} + \frac{3}{5\pi h} \right) y + \frac{1}{2\pi} \right] - \\ &- \frac{R_y K}{2(2K+1)} + \frac{3R_y K}{h(2K+1)} y\end{aligned}\quad (8)$$

Вид нормальных напряжений σ_x в поперечном сечении AD преднапряженной балки будет:

$$\begin{aligned}\sigma_x &= \frac{2R_y}{3} \cdot \frac{6K - \gamma_w(K+1)^2}{\gamma_w(K+1)} \times \\ &\times \left[\frac{4}{\pi h^3} y^3 - \left(\frac{3}{h\pi} + \frac{3}{5\pi h} \right) y + \frac{1}{2\pi} \right] - \\ &- \frac{R_y K}{2(2K+1)} + \frac{3R_y K}{h(2K+1)} y = \\ &= \frac{2R_y}{3} \cdot \frac{6K - \gamma_w(K+1)^2}{\gamma_w(K+1)} \left[\left(\frac{1}{2\pi} - \frac{3K\gamma_w(K+1)}{4(2K+1)(6K - \gamma_w(K+1)^2)} \right) + \right. \\ &\left. + \left(\frac{9K\gamma_w(K+1)}{2(2K+1)(6K - \gamma_w(K+1)^2)} - \frac{18}{5\pi} \right) \frac{y}{h} + \frac{4}{\pi} \cdot \frac{y^3}{h^3} \right]\end{aligned}\quad (9)$$

Оптимальные геометрические параметры преднапряженной балки двутаврового сечения $K = 1,1754$ и $\gamma_w = 0,496$, поэтому нормальные напряжения в поперечном сечении AD будут:

$$\begin{aligned} \sigma_x &= \frac{2R_y}{3} \cdot \frac{6K - \gamma_w(K+1)^2}{\gamma_w(K+1)} \left[\left(\frac{1}{2\pi} - \frac{3K\gamma_w(K+1)}{4(2K+1)(6K - \gamma_w(K+1)^2)} \right) + \right. \\ &\quad \left. + \left(\frac{9K\gamma_w(K+1)}{2(2K+1)(6K - \gamma_w(K+1)^2)} - \frac{18}{5\pi} \right) \frac{y}{h} + \frac{4}{\pi} \cdot \frac{y^3}{h^3} \right] = \\ &= 2,90R_y \left[0,099 - 0,783 \left(\frac{y}{h} \right) + 1,273 \left(\frac{y}{h} \right)^3 \right] \end{aligned} \quad (10)$$

Более подробно распределение напряжений вблизи точки приложения сосредоточенной силы исследовал Зеевальд Ф. Функция напряжений $F(x, y)$, была получена Зеевальдом Ф. и имеет вид:

$$\begin{aligned} F(x, y) &= -\frac{P}{2\pi} \left\{ \int_0^\infty \left[\frac{1 - \cos \alpha l}{\alpha^2 \left(1 + \frac{sh2\alpha c}{2\alpha c} \right)} \left(-\frac{y}{c} sh\alpha y \cdot sh\alpha c + \right. \right. \right. \\ &\quad \left. \left. + ch\alpha y \cdot ch\alpha c + \frac{ch\alpha y \cdot sh\alpha c}{\alpha c} \right) \cos \alpha x \right] d\alpha + \int_0^\infty \left[\frac{1}{1 - \frac{sh2\alpha c}{2\alpha c}} \times \right. \\ &\quad \left. \times \left(\frac{y}{c} ch\alpha y \cdot ch\alpha c - sh\alpha y \cdot sh\alpha c - \frac{sh\alpha y \cdot ch\alpha c}{\alpha c} \right) - \right. \\ &\quad \left. - \frac{3y}{2c^3} \left(c^2 - \frac{y^2}{3} \right) \right] \times \frac{(1 - \cos \alpha l) \cdot \cos \alpha x}{\alpha^2} d\alpha \left\} - \frac{3Pl}{8c^3} \left(1 - \frac{x}{l} \right) \left(c^2 - \frac{y^2}{3} \right) y \end{aligned} \quad (11)$$

Распределение нормальных σ_x , σ_y и касательных напряжений τ_{xy} по стенке балки определяется дифференцированием функции напряжений $F(x, y)$. Зеевальд Ф. разделил напряжение на две составляющие: первая - рассчитывается по классической балочной формуле, а вторая - описывает локальный эффект вблизи точки приложения сосредоточенной силы. Вторая составляющая напряжения может быть представлена в такой форме:

$$\sigma_x = \alpha_{AD} \frac{P}{c}; \quad (12)$$

$$\sigma_y = \beta_{AD} \frac{P}{c}; \quad (13)$$

$$\tau_{xy} = \gamma_{AD} \frac{P}{c} \quad (14)$$

Получаем, что напряжения σ_x в поперечном сечении стенки преднапряженной балки AD от P при $x=0$ будут:

$$\begin{aligned} \sigma_x(0, y) = \alpha_{AD,pr} \frac{P}{c} = \frac{2R_y}{3} \cdot \frac{6K - \gamma_w(K+1)^2}{\gamma_w(K+1)} \times \\ \times \left[\frac{4}{\pi} \cdot \frac{y^3}{h^3} + \left(\frac{9K\gamma_w(K+1)}{2(2K+1)(6K - \gamma_w(K+1)^2)} - \frac{18}{5\pi} \right) \frac{y}{h} + \right. \\ \left. + \left(\frac{1}{2\pi} - \frac{3K\gamma_w(K+1)}{4(2K+1)(6K - \gamma_w(K+1)^2)} \right) \right] \end{aligned} \quad (15)$$

$$\frac{P}{c} = \frac{2R_y}{3} \cdot \frac{6K - \gamma_w(K+1)^2}{\gamma_w(K+1)} \quad (16)$$

$$\begin{aligned} \alpha_{AD,pr} = \left[\frac{4}{\pi} \cdot \frac{y^3}{h^3} + \left(\frac{9K\gamma_w(K+1)}{2(2K+1)(6K - \gamma_w(K+1)^2)} - \frac{18}{5\pi} \right) \frac{y}{h} + \right. \\ \left. + \left(\frac{1}{2\pi} - \frac{3K\gamma_w(K+1)}{4(2K+1)(6K - \gamma_w(K+1)^2)} \right) \right] \end{aligned} \quad (17)$$

С рассмотрением преднапряженной балки в сечении AD оптимального поперечного сечения, множители местных напряжений σ_x будут:

$$\alpha_{AD,pr}(0, y) = \left[0,099 - 0,783 \left(\frac{y}{h} \right) + 1,273 \left(\frac{y}{h} \right)^3 \right] \quad (18)$$

$$\frac{P}{c} = 2,90R_y \quad (19)$$

Значения параметра $\alpha_{AD,pr}$ для напряжений σ_x в преднапряженной балке и $\alpha_{AD,ob}$ для напряжений $\sigma_{x,ob}$ в обычной балке показаны на рис. 3. Анализ рис. 3 показывает, что напряжения σ_x в крайней верхней точке сечения стенки преднапряженной балки от действия сосредоточенной силы P по сравнению с обычной балкой будут меньше.

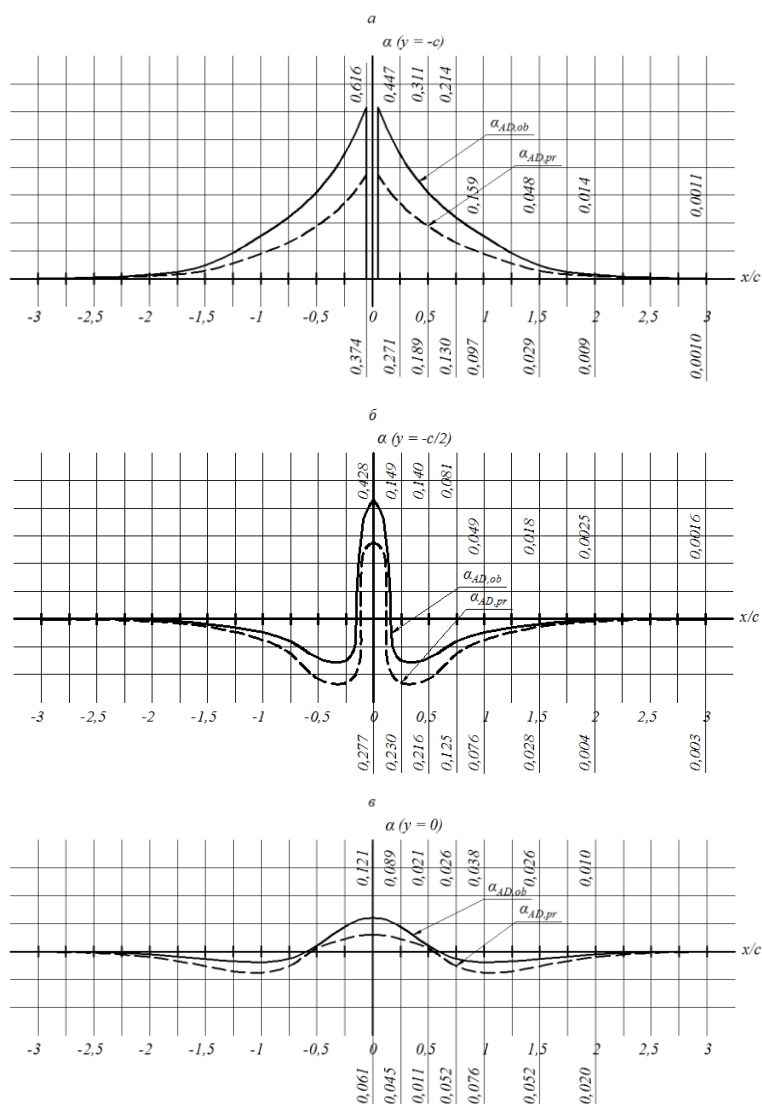


Рис. 3 - График параметра α_{AD} напряжений σ_x для преднапряженной балки (пунктир.) и балки без преднапряжения (сплош.)

Таким образом, предварительное напряжение снижает нормальные напряжения от внешней нагрузки по сравнению с балкой без предварительного напряжения.

Литература

1. Доннелл Л.Г. Балки, пластины, оболочки. Москва, 1982. - 568 с.
2. Коробко В.И. Расчет пластинок методом предельного равновесия. Орел, 2012. - 354 с.

3. Чебровский А.А. Совершенствование методики расчета стальных балок, предварительно напряженных вытяжкой стенки: дис. ... канд. техн. наук: 05.23.01 / А.А. Чебровский, - Улан-Удэ. 2015. - 232 с.

4. Евтушенко А.М., Нуриев В.Э., Зотов П.В., Морева И.С. Технология легких стальных тонкостенных конструкций и её особенности. // Инженерный вестник Дона, 2018, №4. URL: ivdon.ru/magazine/archive/n4y2018/5398/.

5. Решетников А.А. Корнет В.Ю. Леонова Д.А. Сравнительный анализ методик расчета тонкостенных стальных балок С-образного профиля по отечественным и зарубежным нормам. // Инженерный вестник Дона, 2018, №2. URL: ivdon.ru/magazine/archive/n1y2018/4788/.

6. Лампси Б.Б., Гусев В.А. Распределение сосредоточенного касательного давления, приложенного по краям полки металлического тонкостенного стержня. // Труды им. В.П. Чкалова. Исследования элементов металлических конструкций и вопросов строительной механики. Горький, 1970. № 57. С. 20-28.

7. Тимошенко С.П. Устойчивость упругих систем. Москва: Ленинград, 1946. - 533 с.

8. Лурье А.И. Теория упругости. Москва, 1970. - 940 с.

9. Hadjipantelis N., Gardner L., Wadee M. A. Design of prestressed cold-formed steel beams. // Thin-Walled Structures, 2019, №140, pp. 565-578. URL: [sciencedirect.com/science/article/pii/S0263823118313065/](https://www.sciencedirect.com/science/article/pii/S0263823118313065/).

10. Blum A., Chodorowska D. Experimental analysis of prestressed thin-walled structures stability. // Thin-Walled Structures, 2007, №45, pp. 834-839. URL: [sciencedirect.com/science/article/pii/S0263823107001747/](https://www.sciencedirect.com/science/article/pii/S0263823107001747/).

11. Wen-Fu Zhang. Symmetric and antisymmetric lateral-torsional buckling of prestressed steel I-beams. // Thin-Walled Structures, 2018, №122, pp. 463-479. URL: [sciencedirect.com/science/article/pii/S0263823117304329/](https://www.sciencedirect.com/science/article/pii/S0263823117304329/).

References

1. Donnell L.G. Balki, plastiny, obolochki [Beams, plates, shells]. Moskva, 1982. 568 p.
 2. Korobko V.I. Raschet plastinok metodom predel'nogo ravnovesiya [Calculation of plates by the method of limiting equilibrium] Orel, 2012. 354 p.
 3. Chebrovskiy A.A. Sovershenstvovanie metodiki rascheta stal'nykh balok, predvaritel'no napryazhennykh vytyazhkoy stenki [Improvement of the methodology for calculating steel beams prestressed by wall stretching] dis. ... kand. tekhn. nauk. Ulan-Ude. 2015. 232 p.
 4. Evtushenko A.M., Nuriev V.E', Zotov P.V., Moreva I.S. Inzhenernyj vestnik Dona, 2018, №4 URL: ivdon.ru/magazine/archive/n4y2018/5398/.
 5. Reshetnikov A.A. Kornet V.YU. Inzhenernyj vestnik Dona, 2018, №2. URL: ivdon.ru/magazine/archive/n1y2018/4788/.
 6. Lamps B.B., Gusev V.A. Trudy im. V.P. Chkalova. Issledovaniya elementov metallicheskih konstruktsiy i voprosov stroitel'noy mekhaniki. Gor'kiy, 1970, № 57. pp. 20-28.
 7. Timoshenko S.P. Ustoychivost' uprugikh system [Stability of elastic systems]. Moskva: Leningrad, 1946. 533 p.
 8. Lur'e A.I. Teoriya uprugosti [Elasticity theory]. Moskva, 1970. 940 p.
 9. Hadjipantelis N., Gardner L., Wade M. A. Thin-Walled Structures, 2019, №140, pp. 565-578. URL: [sciencedirect.com/science/article/pii/S0263823118313065/](https://www.sciencedirect.com/science/article/pii/S0263823118313065/).
 10. Blum A., Chodorowska D. Thin-Walled Structures, 2007, №45, pp. 834-839. URL: [sciencedirect.com/science/article/pii/S0263823107001747/](https://www.sciencedirect.com/science/article/pii/S0263823107001747/).
 11. Wen-Fu Zhang. Thin-Walled Structures, 2018, №122, pp. 463-479. URL: [sciencedirect.com/science/article/pii/S0263823117304329/](https://www.sciencedirect.com/science/article/pii/S0263823117304329/).
-